

# Istraživanje pojave tumorskih kariotipa

---

Samostalni seminar iz  
istraživanja u fizici

Veronika Pisačić

Mentor: prof.dr.sc.  
Nenad Pavin

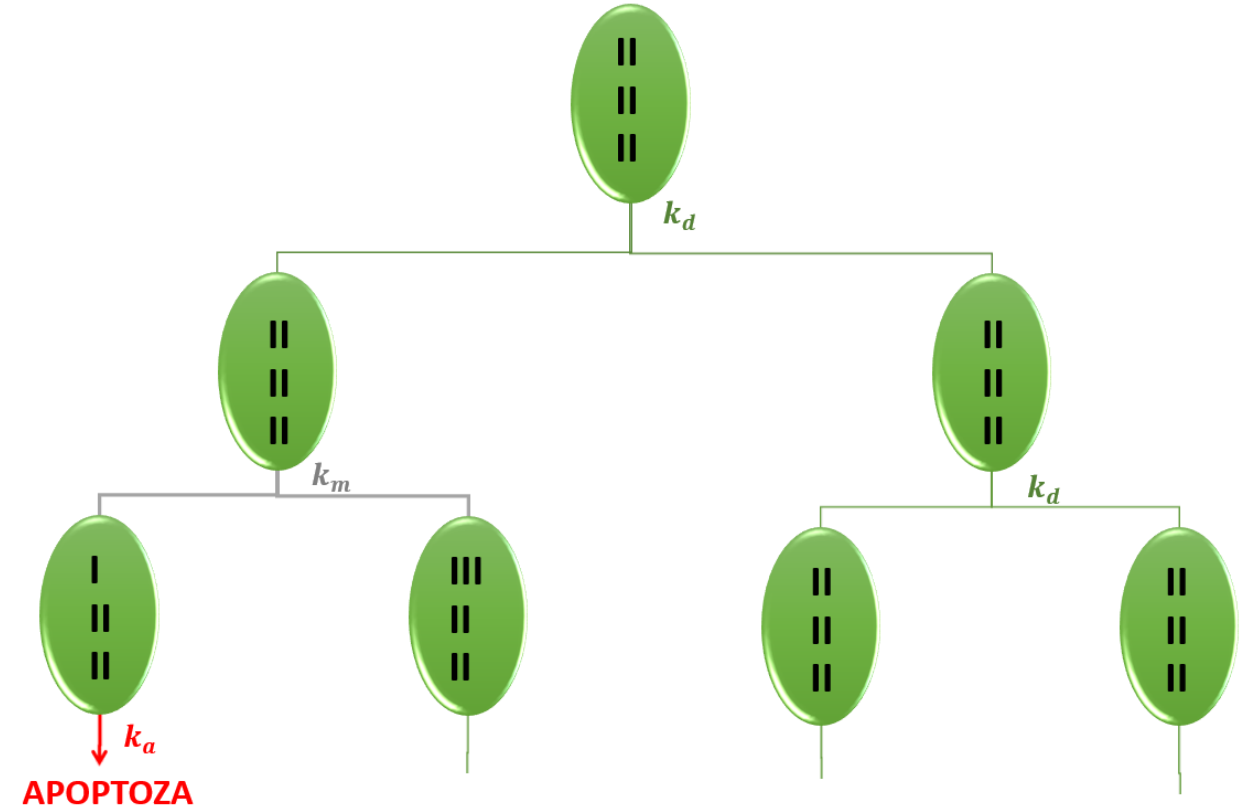
*27. siječanj 2022.*

# Uvod:

- nakon vremena  $T$ , stanica će doživjeti jedan od tri moguća ishoda:

$$p_d + p_m + p_a = 1$$

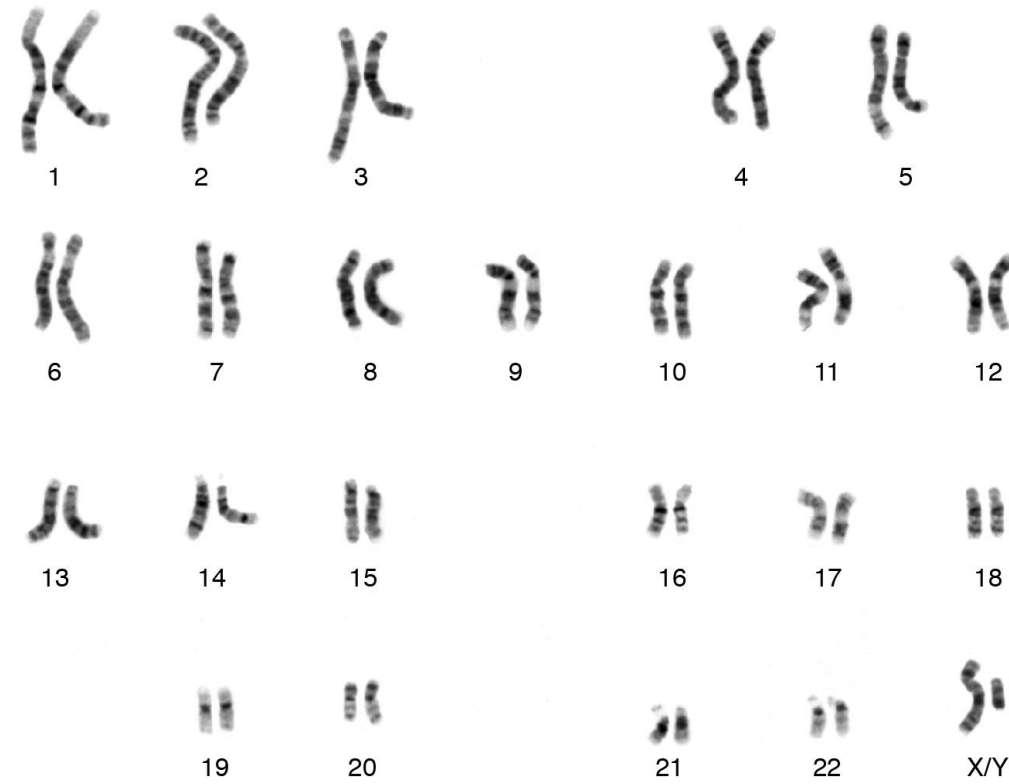
- brzine:  $k_j = \frac{p_j}{T}$



Slika 1: Shematski prikaz diobe stanice

# Kariotip stanice

- $\vec{K} = \begin{pmatrix} c_1 \\ c_2 \\ c_3 \\ \vdots \\ c_{22} \\ c_{23} \end{pmatrix}$
- $c_i$  - broj kopija i-tog kromosoma
- **euploidi**: haploidi (1n), diploidi (2n)...
- **aneuploidi**



Slika 2: Kariotip čovjeka

Evolucija broja stanica određenog kariotipa,  $N(\vec{K})$ :

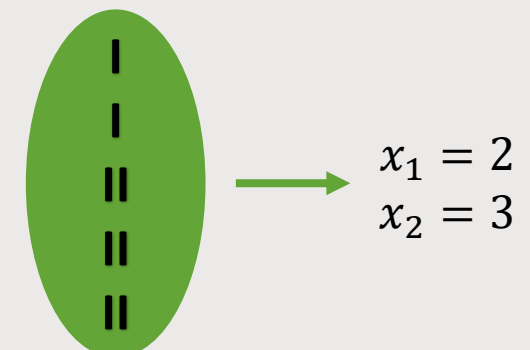
$$\frac{dN(\vec{K})}{dt} = (k_d(\vec{K}) - k_m(\vec{K}) - k_a(\vec{K})) N(\vec{K}) +$$

$$+ \sum_{i=1}^{23} k_m(\vec{K} + \vec{e}_i) N(\vec{K} + \vec{e}_i) +$$

$$+ \sum_{i=1}^{23} k_m(\vec{K} - \vec{e}_i) N(\vec{K} - \vec{e}_i)$$

- promatramo stanice do dvije kopije  $\rightarrow c_i = 1$  ili  $2$
- misegregacija i-tog kromosoma ovisi samo o broju kopija tog kromosoma:  $p_{m_i} = p_0 c_i$
- $p_0$  - misegregacija jedne kopije kromosoma
- ukupan broj različitih kariotipa:  $2^{23} = 8\ 388\ 608$
- **makro-kariotip:**  $\vec{M} = \begin{pmatrix} x_1 \\ x_2 \end{pmatrix}$
- $x_i$  - broj kromosoma sa  $i$  kopija
- $x_1 + x_2 =$  broj kromosoma
- 24 različita makro-kariotipa

$$N(\vec{M}) = \frac{1}{x_1! x_2!} \sum_{all\ perm.} N(\vec{K})$$



*Rate jednadžba za makro-kariotip:*

$$\begin{aligned} \frac{dN(\vec{M})}{dt} = & \frac{1}{T(\vec{M})}(1 - 2 \sum_{n=1}^2 nx_n p_0(\vec{M}))N(\vec{M}) - 2 \frac{p_a(\vec{M})}{T(\vec{M})}N(\vec{M}) + \\ & + (x_1 + 1) \frac{p_0(\vec{M} + \vec{e}_1 - \vec{e}_2)}{T(\vec{M} + \vec{e}_1 - \vec{e}_2)}N(\vec{M} + \vec{e}_1 - \vec{e}_2) + \\ & + 2(x_2 + 1) \frac{p_0(\vec{M} + \vec{e}_2 - \vec{e}_1)}{T(\vec{M} + \vec{e}_2 - \vec{e}_1)}N(\vec{M} + \vec{e}_2 - \vec{e}_1) \end{aligned}$$

# Rate jednadžba za makro-kariotip:

- koeficijent saturacije,  $\alpha$

$$\alpha \equiv \left(1 - \frac{\sum_{\vec{M}} N(\vec{M})}{N_{tot}}\right)$$

- $N_{tot}$ : ukupan broj stanica nakon kojeg dioba prestaje

$$\begin{aligned} \frac{dN(\vec{M})}{dt} = & \frac{\alpha}{T(\vec{M})} \left(1 - 2 \sum_{n=1}^2 nx_n p_0(\vec{M})\right) N(\vec{M}) - 2 \frac{p_a(\vec{M})}{T(\vec{M})} N(\vec{M}) + \\ & + (x_1 + 1) \frac{\alpha p_0(\vec{M} + \vec{e}_1 - \vec{e}_2)}{T(\vec{M} + \vec{e}_1 - \vec{e}_2)} N(\vec{M} + \vec{e}_1 - \vec{e}_2) + \\ & + 2(x_2 + 1) \frac{\alpha p_0(\vec{M} + \vec{e}_2 - \vec{e}_1)}{T(\vec{M} + \vec{e}_2 - \vec{e}_1)} N(\vec{M} + \vec{e}_2 - \vec{e}_1) \end{aligned}$$



NELINEARAN SUSTAV OBIČNIH DIFERENCIJALNIH JEDNADŽBI

stacionarno rješenje:  $\frac{dN(\vec{M})}{dt} = 0$

---

$$\begin{aligned} & \frac{1}{2p_a(\vec{M})}(1 - 2p_0(\vec{M})(x_1 + 2x_2))N(\vec{M}) + \\ & + (x_1 + 1)\frac{p_0(\vec{M} + \vec{e}_1 - \vec{e}_2)T(\vec{M})}{2T(\vec{M} + \vec{e}_1 - \vec{e}_2)p_a(\vec{M})}N(\vec{M} + \vec{e}_1 - \vec{e}_2) + \\ & + (x_2 + 1)\frac{p_0(\vec{M} - \vec{e}_1 + \vec{e}_2)T(\vec{M})}{T(\vec{M} - \vec{e}_1 + \vec{e}_2)p_a(\vec{M})}N(\vec{M} - \vec{e}_1 + \vec{e}_2) = \\ & = \frac{1}{\alpha}N(\vec{M}) \end{aligned}$$



svojstvena jednadžba:

$$A\vec{N}_0 = \lambda\vec{N}_0$$

24x24 trodijagonalna matrica

# Svojstveni problem

- Svojstvene vrijednosti:  $\lambda = \frac{1}{\alpha}$
- Svojstveni vektori:  $\vec{N}_0 = \begin{pmatrix} N(x_2=0) \\ N(x_2=1) \\ \vdots \\ N(x_2=22) \\ N(x_2=23) \end{pmatrix}$
- $\vec{N} = c\vec{N}_0$

# Istraživanje prostora parametara

- Vjerojatnost za misegregaciju jedne kopije:  
 $p_0(x_2) = a + bx_2(23 - x_2)$
- Vjerojatnost za apoptozu:  
 $p_a(x_2) = 10^{-2}$ , za svaki  $x_2$
- Vrijeme života stanice:  
 $T(x_2) = 1$  dan, za svaki  $x_2$

# Rezultati i rasprava

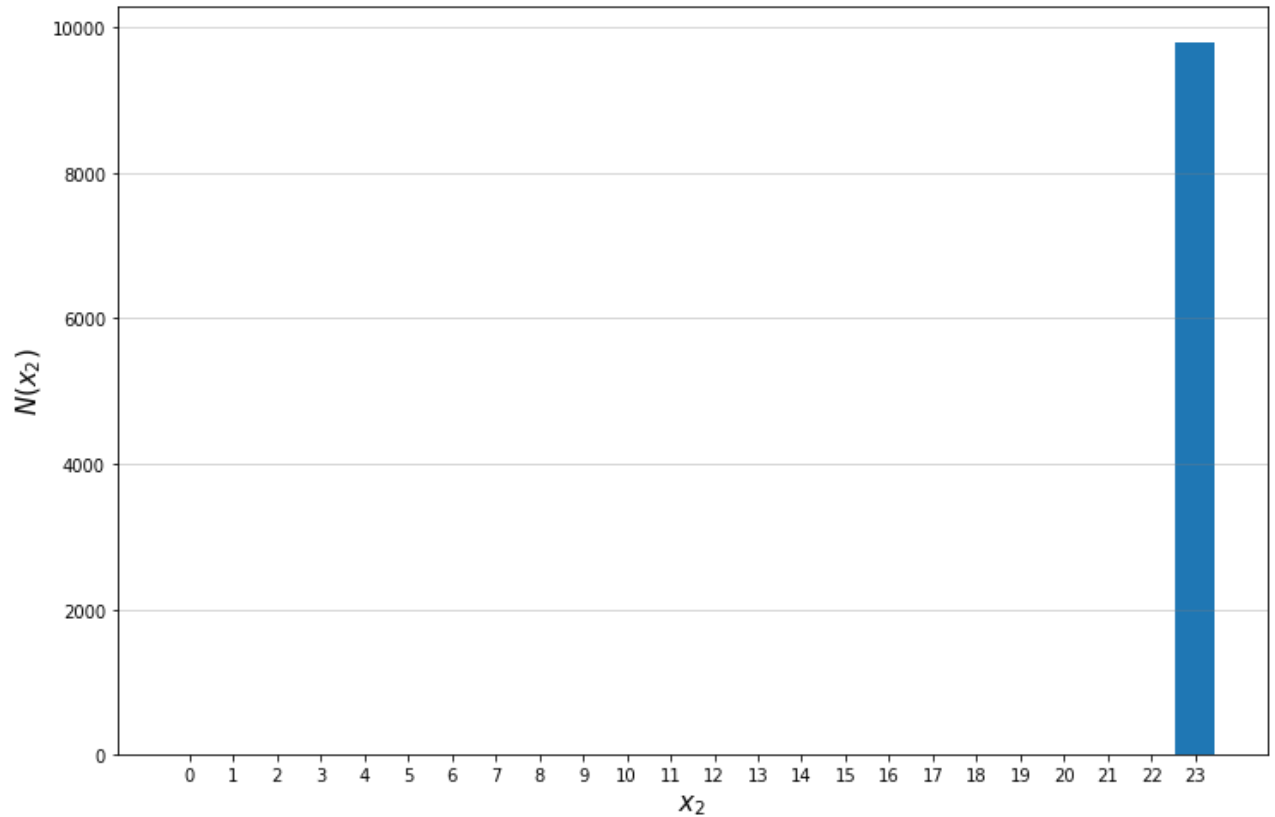
1. Veća misegregacija haploidnih stanica:



$$a = \begin{cases} 10^{-4} & \text{za } x_2 = 0 \\ 10^{-5} & \text{za } x_2 = 23 \\ 10^{-3} & \text{inače} \end{cases}$$

$$b = 10^{-3}$$

- $p_0(x_2) = a + bx_2(23 - x_2)$
- $N_{tot} = 10\ 000$

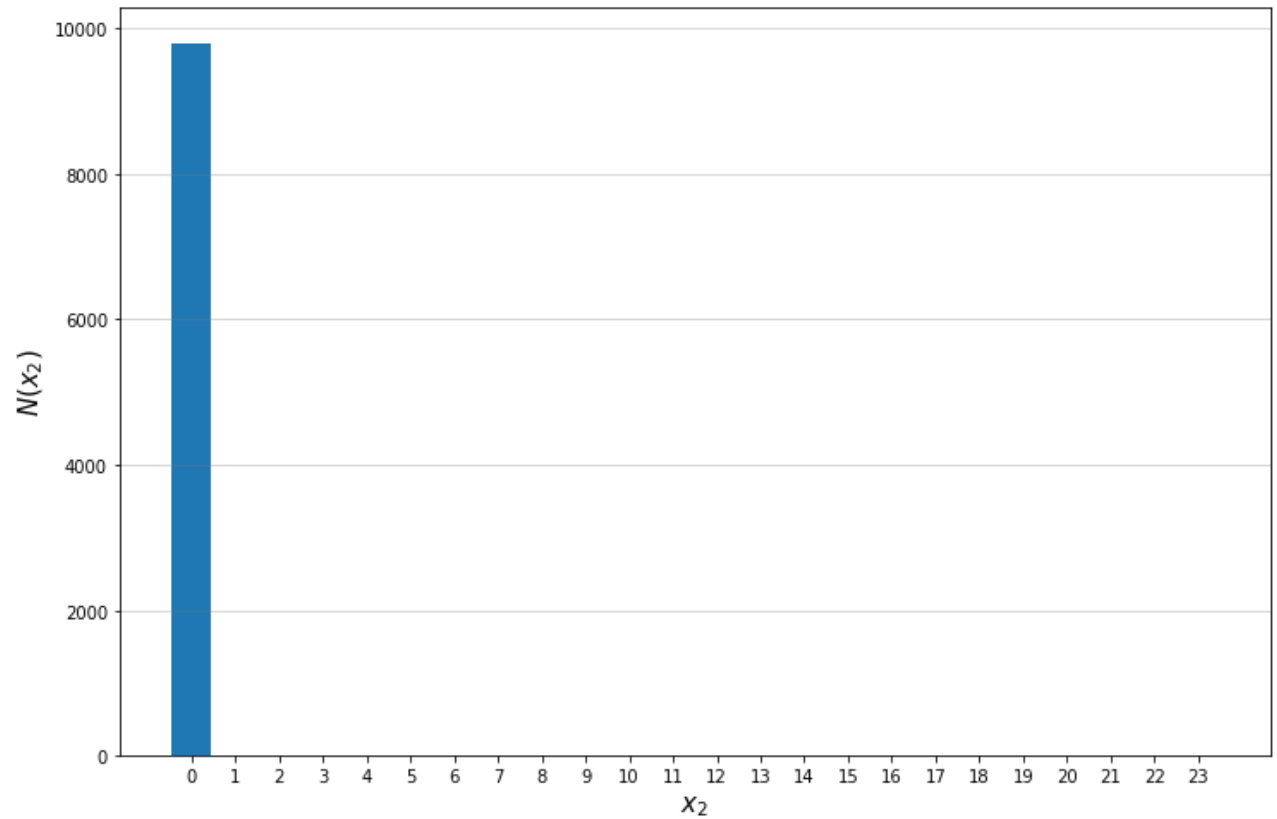


Slika 3: Graf ovisnosti broja stanica N o makro-kariotipu  $x_2$

## 2. Veća misegregacija diploidnih stanica:

$$a = \begin{cases} 10^{-5} & \text{za } x_2 = 0 \\ 10^{-4} & \text{za } x_2 = 23 \\ 10^{-3} & \text{inače} \end{cases}$$
$$b = 10^{-3}$$

- $p_0(x_2) = a + bx_2(23 - x_2)$
- $N_{tot} = 10\ 000$



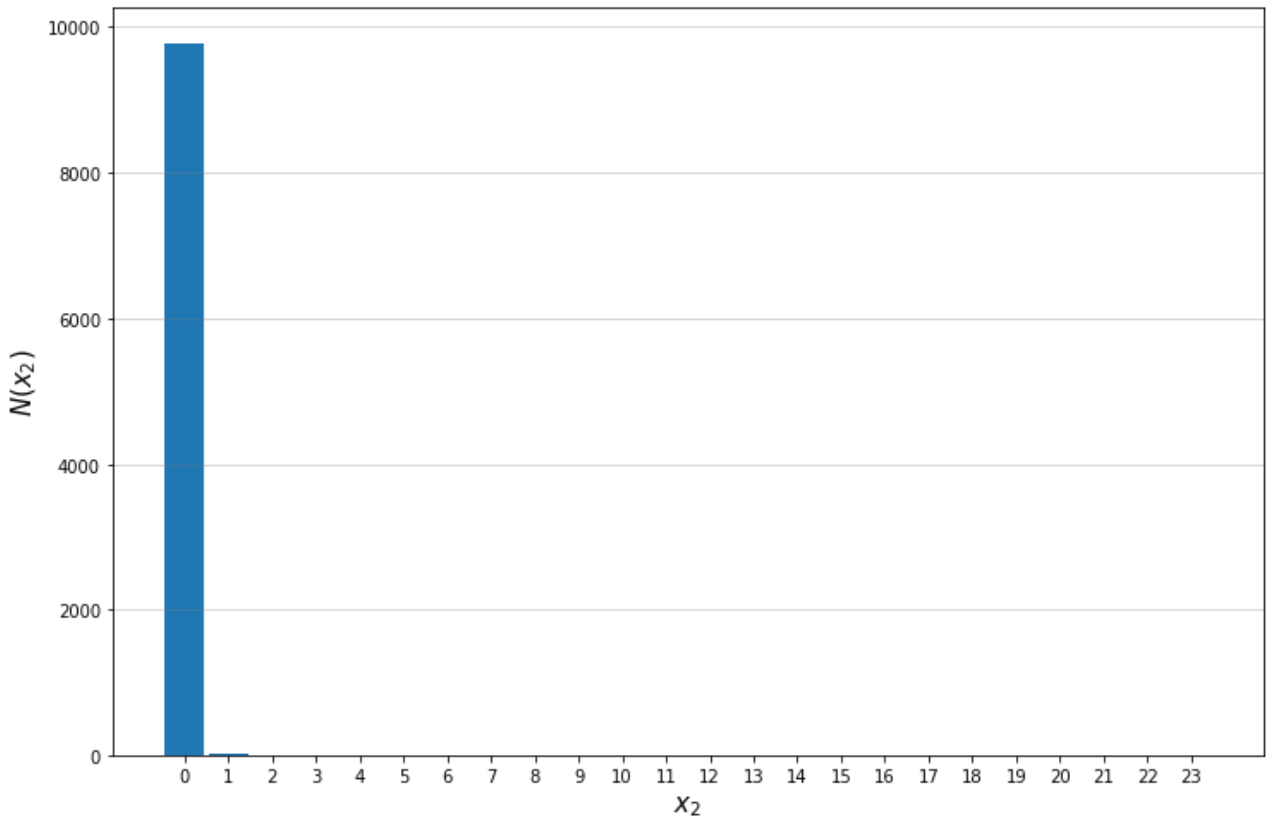
Slika 4: Graf ovisnosti broja stanica  $N$  o makro-kariotipu  $x_2$

### 3. Jednaka misegregacija haploidnih i diploidnih stanica:

$$a = \begin{cases} 10^{-4} & \text{za } x_2 = 0 \\ 10^{-4} & \text{za } x_2 = 23 \\ 10^{-3} & \text{inače} \end{cases}$$

$$b = 10^{-3}$$

- $p_0(x_2) = a + bx_2(23 - x_2)$
- $N_{tot} = 10\ 000$

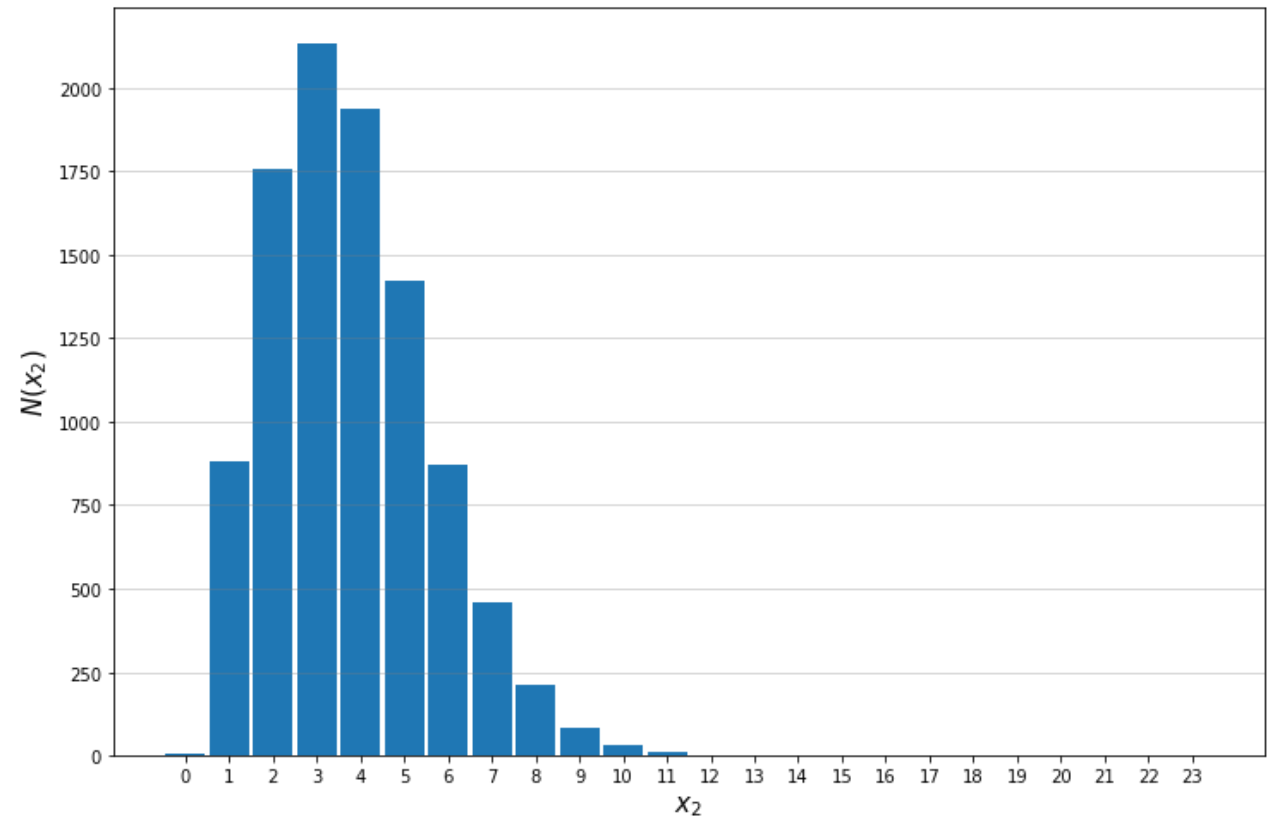


Slika 5: Graf ovisnosti broja stanica  $N$  o makro-kariotipu  $x_2$

## 4.1. Pojava aneuploidnih stanica:

$$a = \begin{cases} 10^{-2} & \text{za } x_2 = 0 \\ 10^{-3} & \text{za } x_2 = 23 \\ 10^{-3} & \text{inače} \end{cases}$$
$$b = 10^{-5}$$

- $p_0(x_2) = a + bx_2(23 - x_2)$
- $N_{tot} = 10\ 000$



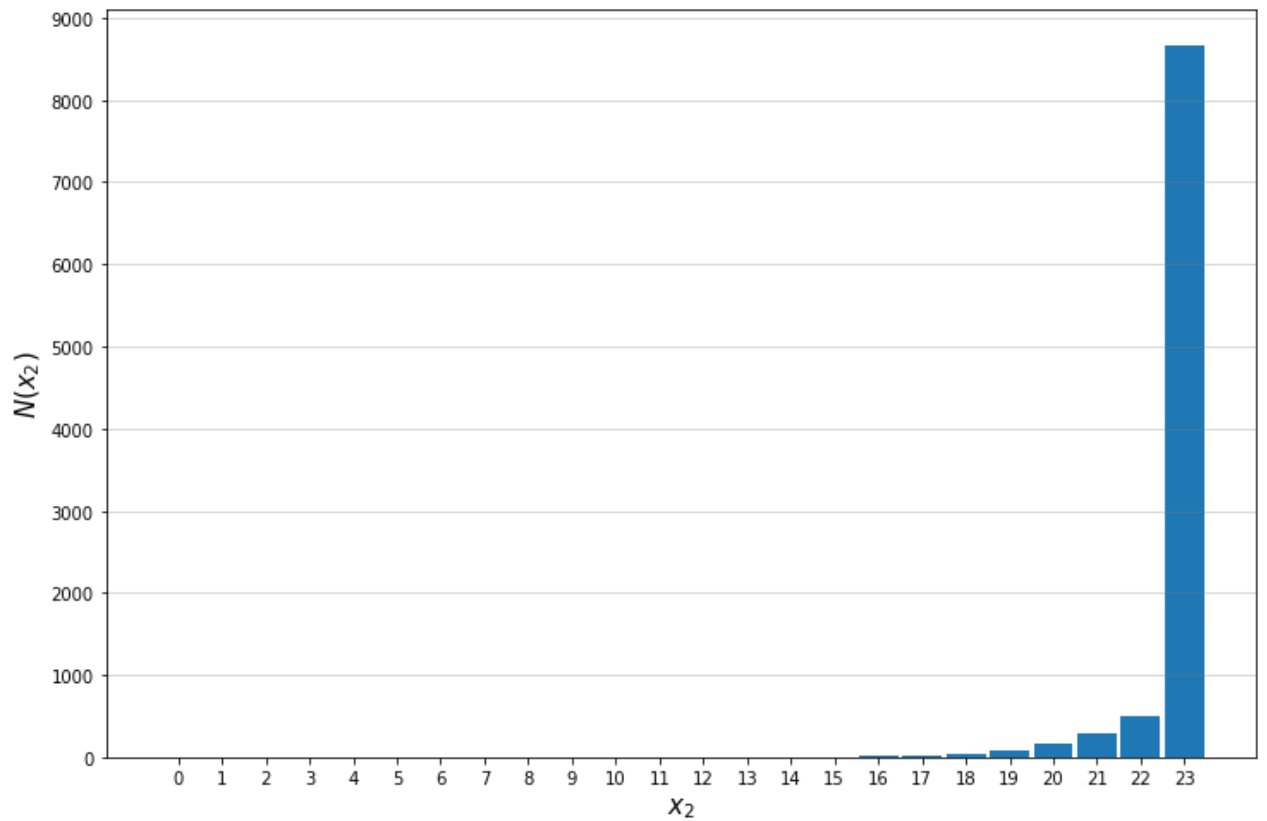
Slika 6: Graf ovisnosti broja stanica N o makro-kariotipu  $x_2$

## 4.2 Pojava aneuploidnih stanica:



$$a = \begin{cases} 10^{-2} & \text{za } x_2 = 0 \\ 10^{-4} & \text{za } x_2 = 23 \\ 10^{-3} & \text{inače} \end{cases}$$
$$b = 0$$

- $p_0(x_2) = a + bx_2(23 - x_2)$
- $N_{tot} = 10\ 000$



Slika 7: Graf ovisnosti broja stanica N o makro-kariotipu  $x_2$

# Zaključak

- Kariotip
- Marko – kariotip
- Rate jednadžba za marko – kariotip → stacionarno rješenje → svojstveni problem
- Istraživanje prostora parametara → pojava aneuploidnih stanica